

Starkniederschlagshöhen und -spenden gemäß KOSTRA-DWD-2020

Rasterfeld 114151

(Zeile 114, Spalte 151)

Regenspende und Bemessungsniederschlagswerte in Abhängigkeit von Wiederkehrzeit T und Dauerstufe D

| Dauerstufe D | | Wiederkehrzeit T | | | | | | | | | | | | | | | | | |
|--------------|-----|------------------|------------|------|------------|------|------------|------|------------|-------|------------|-------|------------|-------|------------|-------|------------|-------|------------|
| | | 1 a | | 2 a | | 3 a | | 5 a | | 10 a | | 20 a | | 30 a | | 50 a | | 100 a | |
| min | Std | mm | l / (s ha) | mm | l / (s ha) | mm | l / (s ha) | mm | l / (s ha) | mm | l / (s ha) | mm | l / (s ha) | mm | l / (s ha) | mm | l / (s ha) | mm | l / (s ha) |
| 5 | | 6,8 | 226,7 | 8,5 | 283,3 | 9,6 | 320,0 | 11,1 | 370,0 | 13,1 | 436,7 | 15,2 | 506,7 | 16,6 | 553,3 | 18,4 | 613,3 | 21,0 | 700,0 |
| 10 | | 8,9 | 148,3 | 11,2 | 186,7 | 12,6 | 210,0 | 14,5 | 241,7 | 17,2 | 286,7 | 20,0 | 333,3 | 21,8 | 363,3 | 24,2 | 403,3 | 27,6 | 460,0 |
| 15 | | 10,2 | 113,3 | 12,9 | 143,3 | 14,5 | 161,1 | 16,6 | 184,4 | 19,7 | 218,9 | 22,9 | 254,4 | 25,0 | 277,8 | 27,7 | 307,8 | 31,6 | 351,1 |
| 20 | | 11,2 | 93,3 | 14,1 | 117,5 | 15,8 | 131,7 | 18,2 | 151,7 | 21,6 | 180,0 | 25,0 | 208,3 | 27,3 | 227,5 | 30,3 | 252,5 | 34,6 | 288,3 |
| 30 | | 12,6 | 70,0 | 15,8 | 87,8 | 17,8 | 98,9 | 20,5 | 113,9 | 24,3 | 135,0 | 28,2 | 156,7 | 30,8 | 171,1 | 34,1 | 189,4 | 38,9 | 216,1 |
| 45 | | 14,1 | 52,2 | 17,7 | 65,6 | 20,0 | 74,1 | 22,9 | 84,8 | 27,2 | 100,7 | 31,5 | 116,7 | 34,4 | 127,4 | 38,2 | 141,5 | 43,6 | 161,5 |
| 60 | 1 | 15,2 | 42,2 | 19,1 | 53,1 | 21,5 | 59,7 | 24,7 | 68,6 | 29,3 | 81,4 | 34,1 | 94,7 | 37,2 | 103,3 | 41,2 | 114,4 | 47,0 | 130,6 |
| 90 | 1,5 | 16,9 | 31,3 | 21,2 | 39,3 | 23,9 | 44,3 | 27,5 | 50,9 | 32,6 | 60,4 | 37,9 | 70,2 | 41,3 | 76,5 | 45,8 | 84,8 | 52,3 | 96,9 |
| 120 | 2 | 18,2 | 25,3 | 22,9 | 31,8 | 25,8 | 35,8 | 29,6 | 41,1 | 35,1 | 48,8 | 40,7 | 56,5 | 44,4 | 61,7 | 49,3 | 68,5 | 56,3 | 78,2 |
| 180 | 3 | 20,1 | 18,6 | 25,3 | 23,4 | 28,5 | 26,4 | 32,8 | 30,4 | 38,8 | 35,9 | 45,1 | 41,8 | 49,2 | 45,6 | 54,6 | 50,6 | 62,3 | 57,7 |
| 240 | 4 | 21,6 | 15,0 | 27,2 | 18,9 | 30,6 | 21,3 | 35,2 | 24,4 | 41,7 | 29,0 | 48,5 | 33,7 | 52,9 | 36,7 | 58,6 | 40,7 | 66,9 | 46,5 |
| 360 | 6 | 23,9 | 11,1 | 30,1 | 13,9 | 33,9 | 15,7 | 38,9 | 18,0 | 46,1 | 21,3 | 53,6 | 24,8 | 58,4 | 27,0 | 64,8 | 30,0 | 74,0 | 34,3 |
| 540 | 9 | 26,4 | 8,1 | 33,2 | 10,2 | 37,4 | 11,5 | 43,0 | 13,3 | 50,9 | 15,7 | 59,2 | 18,3 | 64,6 | 19,9 | 71,6 | 22,1 | 81,7 | 25,2 |
| 720 | 12 | 28,3 | 6,6 | 35,6 | 8,2 | 40,2 | 9,3 | 46,1 | 10,7 | 54,7 | 12,7 | 63,5 | 14,7 | 69,3 | 16,0 | 76,8 | 17,8 | 87,7 | 20,3 |
| 1080 | 18 | 31,3 | 4,8 | 39,3 | 6,1 | 44,3 | 6,8 | 50,9 | 7,9 | 60,3 | 9,3 | 70,1 | 10,8 | 76,5 | 11,8 | 84,8 | 13,1 | 96,8 | 14,9 |
| 1440 | 24 | 33,6 | 3,9 | 42,2 | 4,9 | 47,6 | 5,5 | 54,6 | 6,3 | 64,7 | 7,5 | 75,2 | 8,7 | 82,0 | 9,5 | 91,0 | 10,5 | 103,8 | 12,0 |
| 2880 | 48 | 39,7 | 2,3 | 50,0 | 2,9 | 56,3 | 3,3 | 64,6 | 3,7 | 76,6 | 4,4 | 89,0 | 5,2 | 97,1 | 5,6 | 107,7 | 6,2 | 122,9 | 7,1 |
| 4320 | 72 | 43,8 | 1,7 | 55,1 | 2,1 | 62,1 | 2,4 | 71,3 | 2,8 | 84,5 | 3,3 | 98,2 | 3,8 | 107,1 | 4,1 | 118,9 | 4,6 | 135,6 | 5,2 |
| 5760 | 96 | 47,0 | 1,4 | 59,1 | 1,7 | 66,6 | 1,9 | 76,5 | 2,2 | 90,7 | 2,6 | 105,3 | 3,0 | 114,9 | 3,3 | 127,5 | 3,7 | 145,5 | 4,2 |
| 7200 | 120 | 49,6 | 1,1 | 62,4 | 1,4 | 70,3 | 1,6 | 80,7 | 1,9 | 95,7 | 2,2 | 111,2 | 2,6 | 121,3 | 2,8 | 134,6 | 3,1 | 153,6 | 3,6 |
| 8640 | 144 | 51,9 | 1,0 | 65,2 | 1,3 | 73,5 | 1,4 | 84,4 | 1,6 | 100,1 | 1,9 | 116,2 | 2,2 | 126,8 | 2,4 | 140,6 | 2,7 | 160,5 | 3,1 |
| 10080 | 168 | 53,8 | 0,9 | 67,7 | 1,1 | 76,3 | 1,3 | 87,6 | 1,4 | 103,9 | 1,7 | 120,6 | 2,0 | 131,6 | 2,2 | 146,0 | 2,4 | 166,6 | 2,8 |

Starkniederschlagshöhen und -spenden gemäß KOSTRA-DWD-2020

Rasterfeld 114151

(Zeile 114, Spalte 151)

Örtliche Unsicherheiten in Abhängigkeit von Wiederkehrzeit T und Dauerstufe D

| Dauerstufe D | | Wiederkehrzeit T | | | | | | | | |
|--------------|-----|------------------|-----|-----|-----|------|------|------|------|-------|
| | | 1 a | 2 a | 3 a | 5 a | 10 a | 20 a | 30 a | 50 a | 100 a |
| min | Std | ± % | ± % | ± % | ± % | ± % | ± % | ± % | ± % | ± % |
| 5 | | 11 | 11 | 12 | 13 | 13 | 14 | 14 | 15 | 15 |
| 10 | | 12 | 14 | 15 | 16 | 18 | 18 | 19 | 19 | 20 |
| 15 | | 14 | 16 | 18 | 19 | 20 | 21 | 21 | 22 | 22 |
| 20 | | 15 | 18 | 19 | 20 | 21 | 22 | 23 | 23 | 24 |
| 30 | | 16 | 19 | 20 | 21 | 23 | 24 | 24 | 25 | 25 |
| 45 | | 17 | 19 | 21 | 22 | 23 | 24 | 25 | 25 | 26 |
| 60 | 1 | 17 | 20 | 21 | 22 | 23 | 24 | 25 | 25 | 26 |
| 90 | 1,5 | 17 | 19 | 20 | 21 | 23 | 24 | 24 | 25 | 25 |
| 120 | 2 | 16 | 19 | 20 | 21 | 22 | 23 | 24 | 24 | 25 |
| 180 | 3 | 15 | 18 | 19 | 20 | 21 | 22 | 23 | 23 | 24 |
| 240 | 4 | 15 | 17 | 18 | 19 | 21 | 22 | 22 | 23 | 23 |
| 360 | 6 | 14 | 16 | 17 | 18 | 20 | 21 | 21 | 22 | 22 |
| 540 | 9 | 13 | 15 | 16 | 17 | 19 | 20 | 20 | 21 | 21 |
| 720 | 12 | 13 | 15 | 16 | 17 | 18 | 19 | 19 | 20 | 20 |
| 1080 | 18 | 12 | 14 | 15 | 16 | 17 | 18 | 18 | 19 | 19 |
| 1440 | 24 | 12 | 14 | 14 | 15 | 16 | 17 | 18 | 18 | 19 |
| 2880 | 48 | 12 | 13 | 14 | 15 | 15 | 16 | 17 | 17 | 18 |
| 4320 | 72 | 13 | 14 | 14 | 15 | 15 | 16 | 16 | 17 | 17 |
| 5760 | 96 | 14 | 14 | 14 | 15 | 15 | 16 | 16 | 17 | 17 |
| 7200 | 120 | 14 | 14 | 15 | 15 | 15 | 16 | 16 | 17 | 17 |
| 8640 | 144 | 15 | 15 | 15 | 15 | 16 | 16 | 16 | 17 | 17 |
| 10080 | 168 | 15 | 15 | 15 | 15 | 16 | 16 | 16 | 17 | 17 |

Parameter für abweichende T und D

Lokationsparameter ξ (Xi)

15,54273062

Skalenparameter α (Alpha)

5,56803324

Formparameter κ (Kappa)

-0,1

1. Koutsoyiannis-Parameter θ (Theta)

0,02864005

2. Koutsoyiannis-Parameter η (Eta)

0,75734631

Parameter für dauerstufenübergreifende Extremwertschätzung nach KOUTSOYIANNIS et al. 1998.

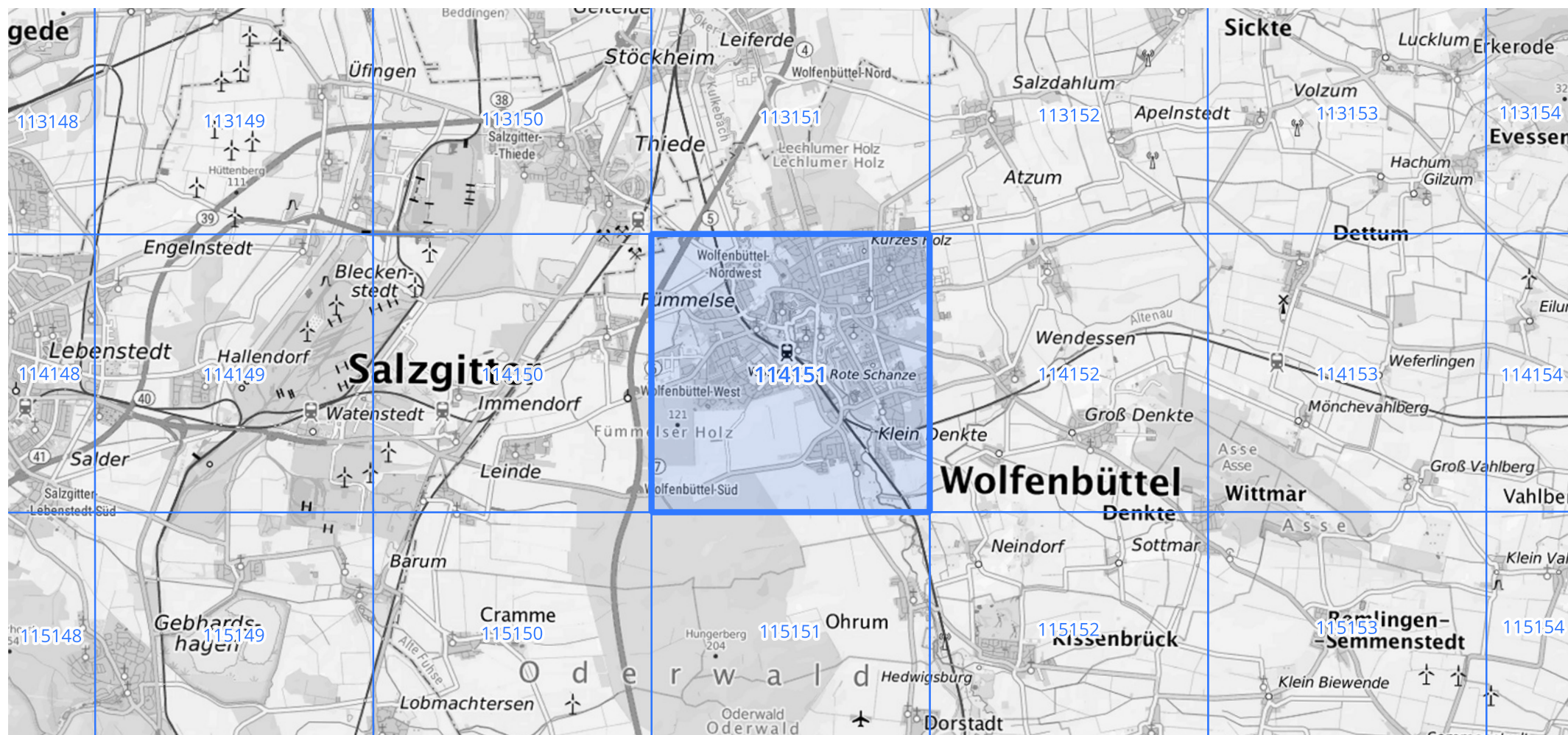
Siehe auch Anwendungshilfe zu KOSTRA-DWD-2020 des Deutschen Wetterdienstes.

Starkniederschlagshöhen und -spenden gemäß KOSTRA-DWD-2020

Rasterfeld 114151

(Zeile 114, Spalte 151)

Übersichtskarte des Rasterfeldes 114151, M 1 : 100 000



Quelle Rasterdaten: KOSTRA-DWD-2020 des Deutschen Wetterdienstes, Stand 12/2022.

Seite 3 von 3

Kartendarstellung: © Bundesamt für Kartographie und Geodäsie (2023), Datenquellen: https://sgx.geodatenzentrum.de/web_public/gdz/datenquellen/Datenquellen_TopPlusOpen.html

Für die Richtigkeit und Aktualität der Angaben wird keine Gewähr übernommen. Erstellt 01/2023.